

(株) 神戸製鋼所 正員 ○ 豊島 史郎
正員 半田 宏
正員 波田 凱天

1. はじめに 近年、川井らにより提案された剛体バネモデルは、すべり線との対応がつけやすいこと、および不連続性を容易に導入できることなどの理由により、極限状態の検討を行なう場合の一つの有効な解析手法として定着しつつある。しかし、そこでの定式化は弾塑性解析を基本としているため、エネルギー積分の簡略化や材料定数の設定に関して若干の問題点が残っているように思われる。本文は、極限状態の解析を行なう立場より、剛体バネモデルを塑性力学における上界定理に基づいて定式化しようとするものである。そこでは、不連続な剛体速度場を動的可容速度場とするために、处罚法を導入している。本文の解析手法は拘束体や土質などの極限状態の解析を行なう簡易法として有効と思われる。

2. 上界定理 塑性力学における上界定理は以下のようにな式表示される。

$$\int_{S_c} F_i U_i dS \leq \int_V \sigma_{ij} \dot{\epsilon}_{ij} dV + \int_P A_i \dot{u}_i dS - \int_{S_F} F_i U_i dS \quad (1)$$

ここで、 U_i : 動的可容速度
 $\dot{\epsilon}_{ij}$, σ_{ij} : U_i より求められるひずみ速度および応力, A_i : 相対すべり速度, F_i : 材料のせん断降伏応力または相対すべりにおけるせん断応力, P : 外カ, S_F : 外カの与えられる境界面, S_c : 外部物体との接觸面, \dot{u}_i : 動的可容速度場の不連続面, U_i : 外部物体との接觸面における速度である。本文では、動的可容速度場として、剛体バネモデルで用いられている不連続剛体速度場の適用を考えていくため、式(1)の右辺第一項を無視することが可能となる。

3. 離散化と解法 図1に示すような隣接する要素①と②に注目する。要素内の速度場には、体積変化を生じない一定速度場を仮定する。要素①と②の接辺では速度成分に不連続が生じる。この不連続量は

$$\Delta U' = N U \quad (2) \quad と表わされる。 ここで,$$

$$\Delta U' = [\Delta U'_1, \Delta U'_2] \quad U = [U_1, V_1, U_2, V_2] \quad (3)$$

$$N = \begin{bmatrix} l, m, -l, -m \\ -m, l, m, -l \end{bmatrix}$$

である。 $\Delta U'$ は要素間の相対すべり速度であり、このすべりに伴って消費されるせん断抵抗率 W_s は

$$W_s = \rho \int |\Delta U'| dl = \rho \sqrt{U'^T K_s U'} dl \quad (4)$$

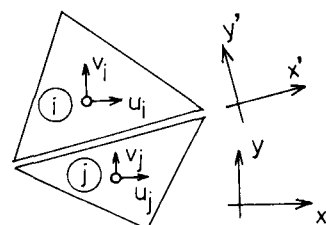
と表わされる。 ここで、 ρ はせん断抵抗であり

$$K_s = N^T D_s N, \quad D_s = \begin{bmatrix} 1 & 0 \\ 0 & 0 \end{bmatrix} \quad (5) \quad である。$$

さて、接辺における垂直速度は連続であるから、 $\Delta V' = 0$ でなければならぬ。 ここで、この拘束条件を处罚法 (penalty function method)³⁾ により導入する。处罚項 (处罚エネルギー) W_p は

$$W_p = \frac{1}{2} P \int (\Delta V')^2 dl = \frac{1}{2} P \int U'^T K_p U' dl \quad (6), \quad K_p = N^T D_p N, \quad D_p = \begin{bmatrix} 0 & 0 \\ 0 & 1 \end{bmatrix} \quad (7)$$

と表わすことができる。 ここで、 P は处罚定数であり大きな値である。



- (x, y): 全体座標系
- (x', y'): 局所 "
- (l, m): x' 軸の方向余弦
- ($-m, l$): y' "
- (U_i, V_i): ① 要素の速度成分
- (U_j, V_j): ② 要素の速度成分

図1 要素の定式化

故に、消散エネルギーの汎関数 Π は

$$\Pi = W_s + W_p - W_F = k \int \sqrt{u^T K_s u} dl + \frac{1}{2} P \int u^T K_p u dl - u^T F \quad (8)$$

である。ただし、第3項は荷重項である。未知数 u について Π の極値化を行なうと

$$\frac{\partial \Pi}{\partial u} = k \int \frac{K_s u}{\sqrt{u^T K_s u}} dl + P \int K_p u dl - F = 0 \quad (9)$$

を得る。この式は非線形方程式であるため、線形化を行なう。 $u_i = u_{i-1} + \Delta u_i$ — (10)
式(9)に代入して Δu_i の1次項までを採用すると、 $K \cdot \Delta u_i = H$ — (11) となる。
 $i = 1, \dots, n$

$$K = k \int \frac{1}{\sqrt{u_{i-1}^T K_s u_{i-1}}} \left[K_s - \frac{K_s u_{i-1} u_{i-1}^T K_s}{u_{i-1}^T K_s u_{i-1}} \right] dl + P \int K_p dl \quad (12)$$

$$H = F - k \int \frac{K_s u_{i-1}}{\sqrt{u_{i-1}^T K_s u_{i-1}}} dl - P \int K_p u_{i-1} dl \quad (12)$$

である。 Π の最小化においては、文献4)の手法を利用。ここで、本解析法では初期速度場が必要となるが、ここで式(8)の第1項を被積分項を自乗した関数差を最小化することにより初期速度場を推定している。また、式(12)において見られるように、分子にすべり量 $|\Delta u'_i| = \sqrt{u_{i-1}^T K_s u_{i-1}}$ の1乗および3乗項が現われるため、 $\Delta u'_i$ が零に近づくと数値計算が困難となる。そこで、 $|\Delta u'_i| = |\Delta u'_i| + \alpha |\Delta u'_{i-1}|_{\max}$ — (13)
と置いている。(αは小さな値である。)

4. 数値計算例 図2は押出し加工のホドグラフ解析と本法を比較したものであり、両者の結果は一致することがわかる。図3は、サイロから粒状体を排出した場合の壁圧分布を求めたものであり、既往のJenikeによる実験(最大壁圧分布)と比較したものである。実験結果とはよく一致している。なお、この例では

オシロスコープによる反復計算におけるせん断抵抗を $R_i = \mu \cdot P_{i-1}$ — (14)
とすることにより摩擦の影響を考慮している。ここで、 μ は摩擦係数であり、 P_{i-1} はオシロスコープによる要素境界の垂直応力である。また、要素分割は、簡単に解釈するためオベリ線図を参考にした。

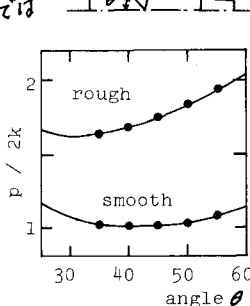


図2 押出し加工

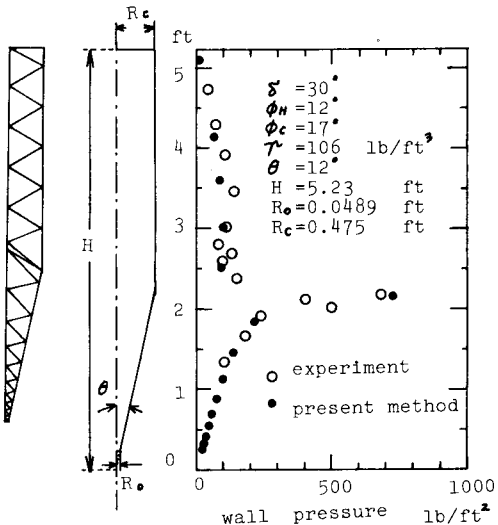


図3 排出時のサイロ壁圧

5. 参考文献

- 川村忠彦: 新しい要素モデルによる固体力学諸問題の解析, 生研セミナーテキスト, 昭和52年
- Hill, R: Mathematical Theory of Plasticity, Oxford University Press, 1965 (篠津山田工講談社翻訳, 塑性力学編)
- Zienkiewicz, O.C.: The Finite Element Method, 3rd. ed. McGraw-Hill, 1977
- 中西宏, 渡辺耕夫: 最適化問題の手法による構造の形状決定解析, 日本建築学会論文報告集, 第224号, 1974-10
- Johnson, W, P.B. Mellor: Engineering Plasticity, Van Nostrand Reinhold, 1973
- Jenike, A.W, J.R. Johnson, L.W. Carson: Bin Loads-Part 3, Transaction of the ASME, J. of Engg. for Ind. 95, 81, 6 (1973)
- 豊島丈郎, 中西宏, 渡辺耕夫: 貯槽内の排出時ににおける粒状体特性の一簡易解析法, 土木学会第37回年次学術講演概要集第1部, 昭和57年10月, I-12